

Обнаруженный эффект канализации энергии поверхностной волны может быть полезен при разработке интегральных устройств обработки информации на основе МСВ.

Список литературы

- [1] Castera J.P. // J. Appl. Phys. 1984. V. 55. N 6. P. 2506-2511.
- [2] Вугальтер Г.А., Коровин А.Г. // Письма в ЖТФ. 1989. Т. 15. № 21. С. 73-76.
- [3] Bongianni W.L. // J. Appl. Phys. 1972. V. 43. N 6. P. 2541-2548.
- [4] Валявский А.Б., Вашковский А.В., Стальмаков А.В., Тюлюкин В.А. // РЭ. 1988. Т. 33. № 9. С. 1820-1830.
- [5] Вашковский А.В., Шахназарян Д.Г. // РЭ. 1987. Т. 32. № 4. С. 719-723.
- [6] Валявский А.Б., Вашковский А.В., Гречушкин К.В., Стальмаков А.В. // РЭ. 1988. Т. 33. № 9. С. 1830-1834.

Поступило в Редакцию
10 апреля 1990 г.

Письма в ЖТФ, том 16, вып. 15

12 августа 1990 г.

05.3; 07

© 1990

ФАЗОВЫЙ ПЕРЕХОД ПОРЯДОК-БЕСПОРЯДОК
В ТВИСТ-НЕМАТИКЕ, СТИМУЛИРОВАННЫЙ
ПОВЕРХНОСТНОЙ СВЕРХРЕШЕТКОЙ КРЕМНИЯ

А.Е. Алексеев, Ю.К. Корниенко,
Л.Д. Шевченко, А.П. Федчук

Известно [1], что нематический жидкий кристалл (НЖК) существует всегда в состоянии одноосного упорядочения длинных осей молекул. Фазовый переход в состояние двуосной упорядоченности, включая упорядочение дипольной подсистемы, был предсказан теоретически [2], но не наблюдался экспериментально.

В данной работе предпринята попытка обнаружения фазового перехода в состояние двуосной упорядоченности в планарно ориентированном слое НЖК, контактирующего с поверхностью монокристалла кремния, покрытой туннельно прозрачным слоем окисла, свойства которого были исследованы нами ранее [3]. Эффект регистрировался по зависимости сигнала коденсаторной фотоЭДС (КФЭДС) V_φ

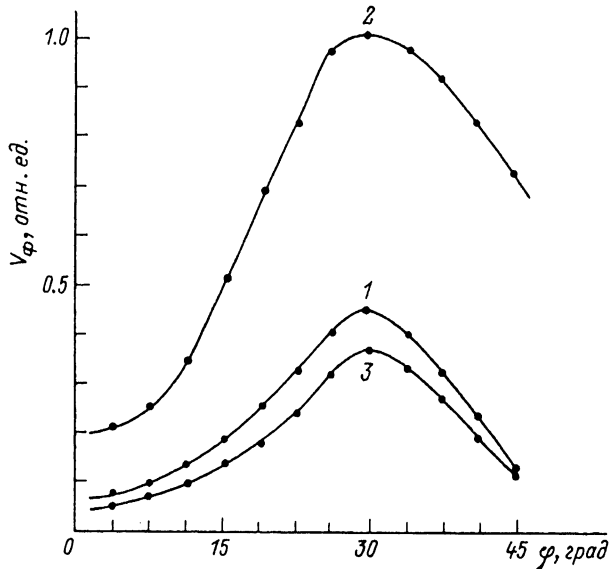


Рис. 1. Зависимость V_φ от угла закручивания слоя МББА при разных длинах волн зондирующего излучения: 1 - 0.64 мкм, 2 - 0.96 мкм, 3 - 1.14 мкм.

от угла закручивания твист-ячейки, который изменялся в пределах от 0° до 90° . В качестве монокристаллической подложки, стимулирующей ориентационный фазовый переход в подсистеме диполей молекул НЖК, был выбран срез (111) кремния, легированного бором в концентрации $5 \cdot 10^{12} \text{ см}^{-3}$. Роль НЖК выполнял модельный нематик МББА, для которого хорошо известны константы упругости и энергия сцепления со стеклянной подложкой, покрытой прозрачным проводящим слоем двуокиси олова, служащим электродом фотоэлектрической ячейки [4]. Слой НЖК ориентировался планарно путем создания микрорельефа на поверхности этого электрода.

Обнаружено, что величина сигнала V_φ существенно возрастала с уменьшением толщины ЖК-слоя d , что может объясняться оптимизацией фотоотклика ячейки при совпадении величины d и длины корреляции ориентации молекул ЖК-слоя.

Снятие спектральных зависимостей КФЭДС в твист-ячейке с регулируемым углом закручивания φ (рис. 1) показало, что существует длина волны λ_{opt} (в нашем случае равная 0.96 мкм), которая наиболее чувствительна к изменению φ . Естественно предположить, что в этом случае толщина области генерации неравно-

весных носителей совпадает с толщиной области пространственного заряда в кремнии, в результате чего обеспечивается максимальная эффективность сбирания фотогенерированных пар носителей.

На рис. 2 показаны угловые зависимости сигнала КФЭДС для исходного состояния поверхности кремния с удаленным естественным окислом, что, согласно [5], соответствует ПСР $Si(111) - (2x1)$ (кривая 1, рис. 2) и для случая отожженной в вакууме 10^{-6} мм рт. ст. при 700 К поверхности этой же пластины (кривая 2, рис. 2). Известно [6], что отжиг Si при указанной температуре приводит к реконструкции ПСР к виду $Si(111) - (7x7)$. Число максимумов зависимости коррелировало при этом с числом осей легкого ориентирования планарного слоя НЖК при изменении φ в пределах первого квадранта. Одновременно было замечено ослабление сигнала V_φ при выдержке пластины Si в атмосфере, что соответствовало росту толщины естественного окисла на поверхности полупроводника.

Наблюдаемые экспериментальные факты можно описать с единой точки зрения, предположив, что изменение угла φ в твист-ячейке приводит вследствие передачи механического момента от слоя НЖК, граничащего с прозрачным электродом, к ЖК-слою, непосредственно взаимодействующему с ПСР кремния. В результате такого взаимодействия возникает возможность азимутальной переориентации директора по ПСР, сопровождающейся переориентацией дипольной компоненты двойного слоя [7] и ее фиксацией вследствие минимизации свободной энергии системы диполи НЖК-ПСР энергетическим профилем зондируемой поверхности полупроводника. Упорядоченный слой, прилегающий к ПСР, приводит к появлению дополнительного скачка потенциала у поверхности полупроводника, вследствие чего изменяется ширина области пространственного заряда W и сигнал V_φ , определяемый выражением

$$V_\varphi = \frac{kT}{q} \ln \left[\frac{\Phi \alpha L^2 \exp(-\alpha W)}{n_0 (1 + \alpha L) (\mathcal{D} + S L)} + 1 \right], \quad (1)$$

где Φ – поглощаемый поток квантов, n_0 – концентрация неосновных носителей в объеме, α – коэффициент поглощения, L – диффузионная длина, S – скорость поверхностной рекомбинации.

Из соображений минимизации свободной энергии, что определяет возможность наблюдаемого ориентационного фазового перехода, можно в соответствии с [8] записать пространственную зависимость угла поворота директора $\vartheta(z)$ в слое НЖК в виде

$$\vartheta(z) = \frac{A_2 \varphi (z + K_{22}/A_1)}{K_{22}(1 + A_2/A_1) + A_2 d}, \quad (2)$$

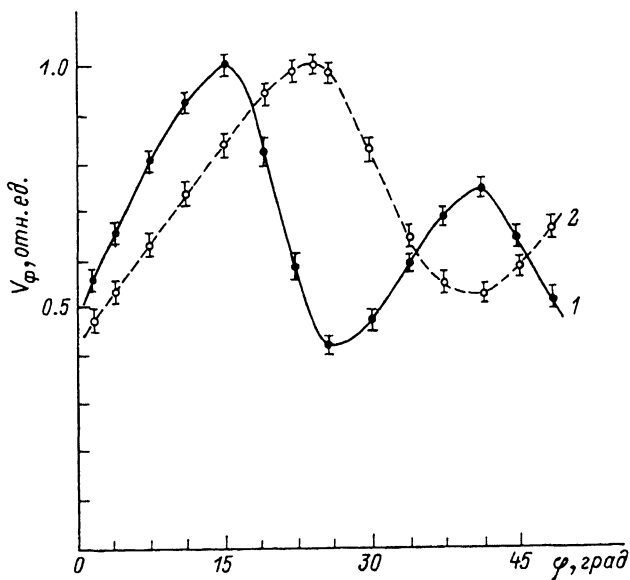


Рис. 2. Зависимость $V_\varphi(\varphi)$ для различных модификаций ПСР кремния: 1 - (2x1), 2 - (7x7).

где Z - координата, перпендикулярная ограничивающим поверхности ячейки, A_1 и A_2 - энергия сцепления слоя НЖК с поверхностью кремния и двуокиси олова соответственно, K_{22} - константа упругости Франка. Полагая $Z=0$ и $Z=d$, получим выражение для углов поворота директора на верхней и нижней поверхностях твист-ячейки. Отсюда, зная по данным [9] величину $A_2=5 \cdot 10^{-2}$ эрг/см², можно получить неизвестное значение A_1 . В нашем случае эта величина равна $1.6 \cdot 10^{-2}$ эрг/см². Подобное решение уравнения (1) возможно при точном знании типа ПСР исследуемого полупроводника и точных значений углов взаимной ориентации осей легкого ориентирования и их расположения относительно базового среза пластины монокристалла.

Результаты данной работы указывают на наличие двуосно ориентированной дипольно упорядоченной фазы НЖК в твист-ячейке с ПСР и, кроме того, позволяют при известном типе ПСР определить энергию сцепления ЖК с полупроводниковой подложкой, при этом возможно решение и обратной задачи - определения взаимной ориентации осей легкого ориентирования и типа ПСР по известной энергии сцепления данного ЖК с поверхностью исследуемого полупроводника.

Авторы выражают глубокую благодарность Л.М. Блинову, В.Ф.Киселеву, С.Н. Козлову за многочисленные полезные обсуждения и особую признательность Л.А. Бересневу, обратившему наше внимание на результаты работы [10].

Список литературы

- [1] Б л и н о в Л.М., К а ц Е.И., С о н и н А.А. // УФН. 1987. Т. 152. С. 449-479.
- [2] К о з л о в В.А., П е т ь к и н Н.В., Т р у ф а н о в Н.А.// Поверхность: физика, химия, механика. 1988. В. 6. С. 136-138.
- [3] Ф е д ч у к А.П., Ш е в ч е н к о Л.Д. // ЖТФ. 1990. Т. 60. В. 2. С. 209-211.
- [4] Б л и н о в Л.М., С о н и н А.А., Б а р н и к М.И. // Кристаллография. 1989. Т. 34. С. 413-419.
- [5] Н а п е м а н D., C h e r n o v A.А. // Surf. Sci. 1989. V. 215. P. 135-137.
- [6] Б ольшаков Л.А., В е щ у н о в М.С. // ЖЭТФ. 1986. Т. 90. С. 569-580.
- [7] К о р н и е н к о Ю.К., Б а р а н о в С.Ф., З а г и н а й л о И.В., Ф е д ч у к А.П., С е р д ю к В.В. // УФЖ. 1986. Т. 31. В. 10. С. 1522-1530.
- [8] С о н и н А.С. Введение в физику жидкых кристаллов. М.: Наука, 1983. 320 с.
- [9] Л у к ь я н ч е н к о Е.С., Г р и г о с ' В.И., Г р и - б о в С.В. // Поверхность: физика, химия, механика. 1985. В. 2. С. 121-125.
- [10] J e r o m e B., B e c h h o e f e r J., B o s - s e b o e u f A., P i e r a n s k i P. - Proc. Sth. Liq. Cryst. Conf. Soc. Countries. 1989, Poland, Krakow. P. 92-95.

Одесский
государственный университет
им. И.И. Мечникова

Поступило в Редакцию
4 мая 1990 г.